

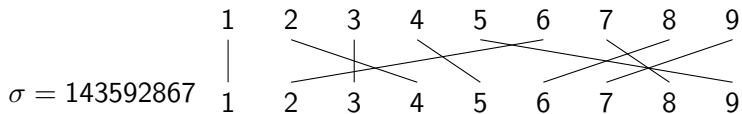
# Treillis de Tamari et ordre faible

Viviane Pons

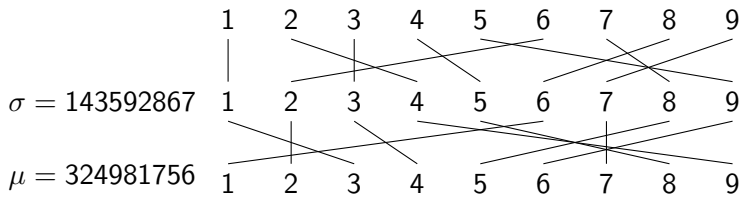
Universität Wien

Nice, 20 mars 2014

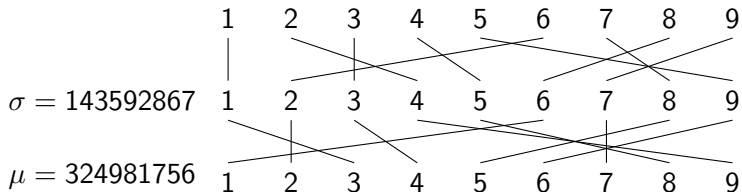
## Groupe des permutations



## Groupe des permutations

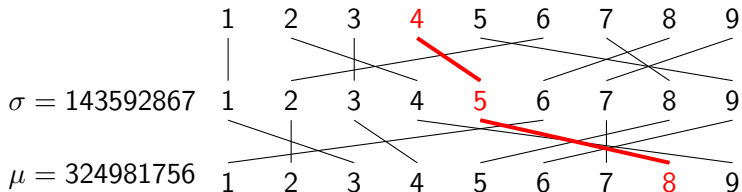


## Groupe des permutations

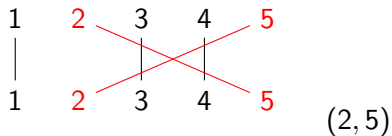


$$\mu \cdot \sigma = 394862517$$

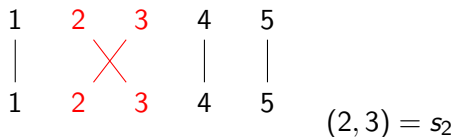
## Groupe des permutations



## Transpositions



## Transpositions simples



## Ordre faible droit

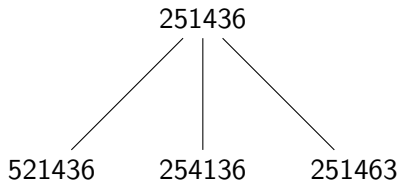


$$\ell(\sigma s_i) = \ell(\sigma) + 1$$

## Ordre faible droit



$$\ell(\sigma s_i) = \ell(\sigma) + 1$$



## Ordre faible droit

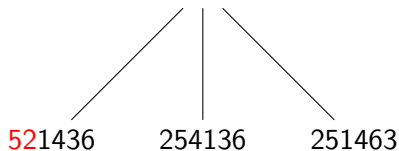
$\sigma$



$\sigma s_i$

$$\ell(\sigma s_i) = \ell(\sigma) + 1$$

251436



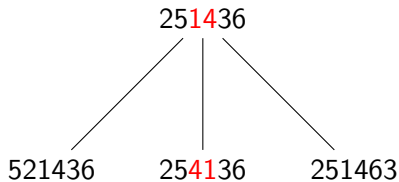
## Ordre faible droit

$\sigma$



$\sigma s_i$

$$\ell(\sigma s_i) = \ell(\sigma) + 1$$



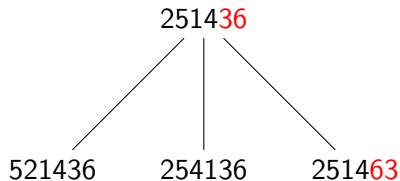
## Ordre faible droit

$\sigma$

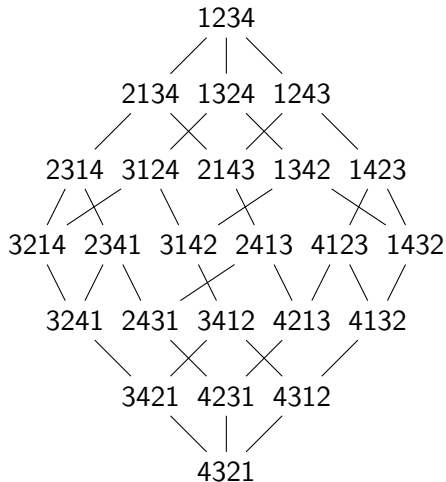
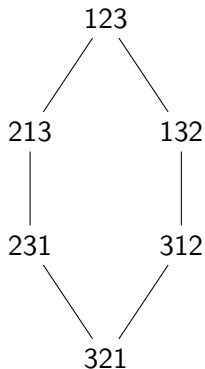


$\sigma s_i$

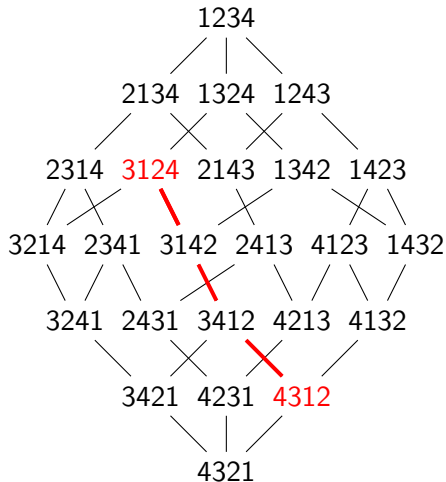
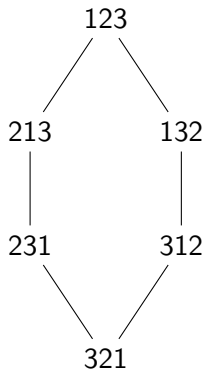
$$\ell(\sigma s_i) = \ell(\sigma) + 1$$



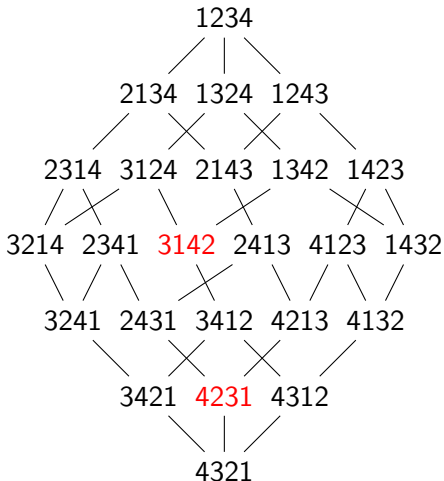
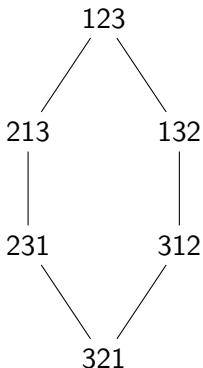
## Ordre faible droit



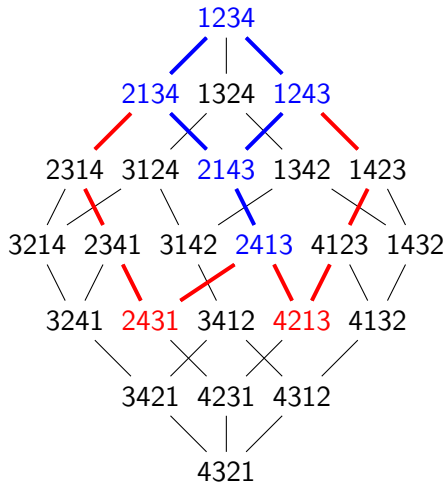
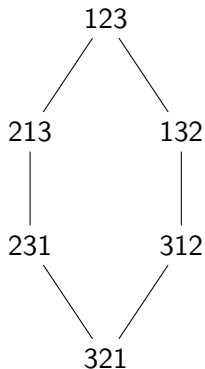
## Ordre faible droit



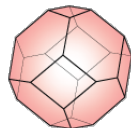
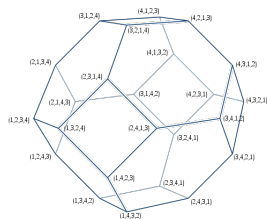
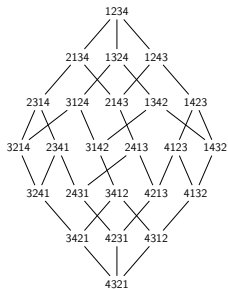
## Ordre faible droit



## Ordre faible droit



## Permutoèdre



## Algèbre de Malvenuto Reutenauer

Éléments de base indexés par les permutations :  $(\mathbf{F}_\sigma)$ .

Produit définit par le *shuffle* :

$$\mathbf{F}_{21} \cdot \mathbf{F}_{12} = \mathbf{F}_{21\bar{1}12}$$
$$=$$

## Algèbre de Malvenuto Reutenauer

Éléments de base indexés par les permutations :  $(\mathbf{F}_\sigma)$ .

Produit définit par le *shuffle* :

$$\begin{aligned}\mathbf{F}_{21} \cdot \mathbf{F}_{12} &= \mathbf{F}_{21\bar{1}12} \\ &= \mathbf{F}_{2134}\end{aligned}$$

## Algèbre de Malvenuto Reutenauer

Éléments de base indexés par les permutations :  $(F_\sigma)$ .

Produit définit par le *shuffle* :

$$\begin{aligned} F_{21} \cdot F_{12} &= F_{21\bar{1}12} \\ &= F_{2134} + F_{2314} \end{aligned}$$

## Algèbre de Malvenuto Reutenauer

Éléments de base indexés par les permutations :  $(F_\sigma)$ .

Produit définit par le *shuffle* :

$$\begin{aligned} F_{21} \cdot F_{12} &= F_{21\bar{1}12} \\ &= F_{2134} + F_{2314} + F_{2341} \end{aligned}$$

## Algèbre de Malvenuto Reutenauer

Éléments de base indexés par les permutations :  $(F_\sigma)$ .

Produit définit par le *shuffle* :

$$\begin{aligned} F_{21} \cdot F_{12} &= F_{21\bar{1}12} \\ &= F_{2134} + F_{2314} + F_{2341} + F_{3214} \end{aligned}$$

## Algèbre de Malvenuto Reutenauer

Éléments de base indexés par les permutations :  $(F_\sigma)$ .

Produit définit par le *shuffle* :

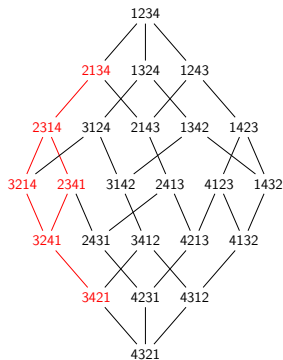
$$\begin{aligned} F_{21} \cdot F_{12} &= F_{21\bar{1}12} \\ &= F_{2134} + F_{2314} + F_{2341} + F_{3214} + F_{3241} \end{aligned}$$

## Algèbre de Malvenuto Reutenauer

Éléments de base indexés par les permutations :  $(F_\sigma)$ .

Produit définit par le *shuffle* :

$$\begin{aligned}
 F_{21} \cdot F_{12} &= F_{21\bar{1}2} \\
 &= F_{2134} + F_{2314} + F_{2341} + F_{3214} + F_{3241} + F_{3421}
 \end{aligned}$$



$$\begin{aligned}
 \mathbf{F}_{21} \cdot \mathbf{F}_{12} &= \mathbf{F}_{21\sqcup 12} \\
 &= \mathbf{F}_{2134} + \mathbf{F}_{2314} + \mathbf{F}_{2341} + \mathbf{F}_{3214} + \mathbf{F}_{3241} + \mathbf{F}_{3421}
 \end{aligned}$$

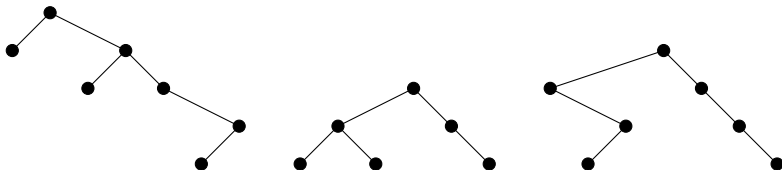
## Treillis de Tamari

- ▶ 1962, Tamari : ordre sur les parenthésages formels
- ▶ 1972, Huang, Tamari : structure de treillis

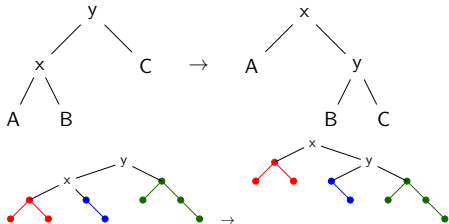
## Treillis de Tamari

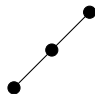
- ▶ 1962, Tamari : ordre sur les parenthésages formels
- ▶ 1972, Huang, Tamari : structure de treillis

## Arbres binaires

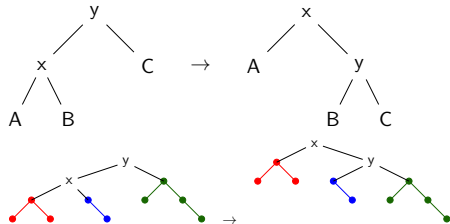


## Rotation droite



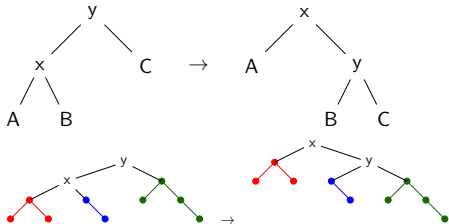


## Rotation droite

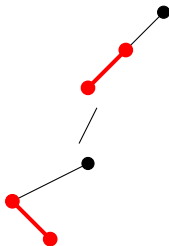
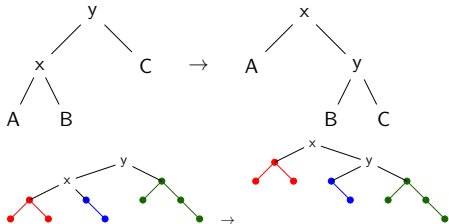




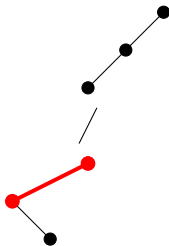
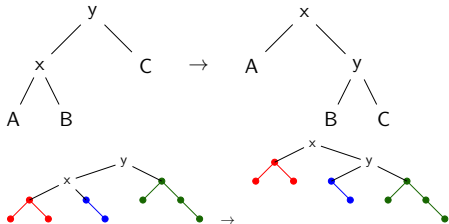
### Rotation droite



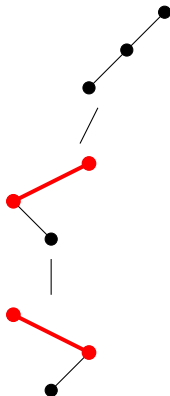
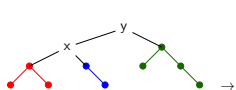
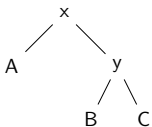
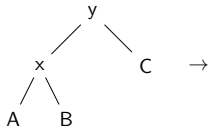
### Rotation droite



### Rotation droite

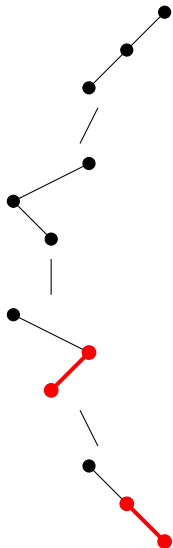
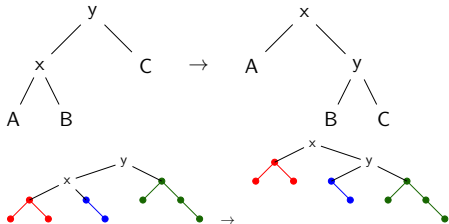


### Rotation droite

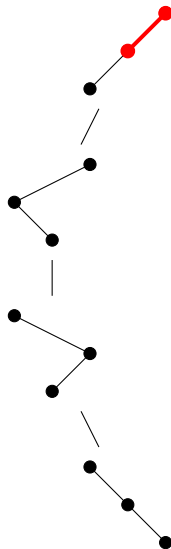
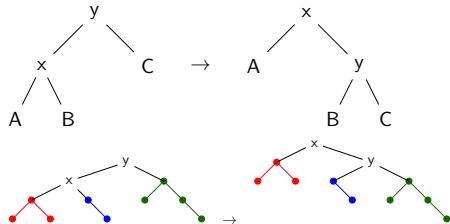




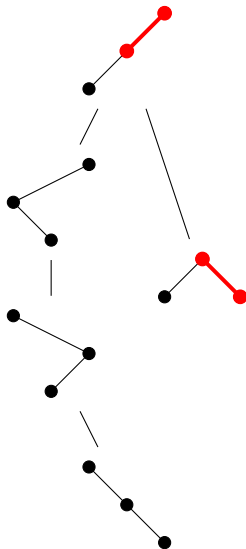
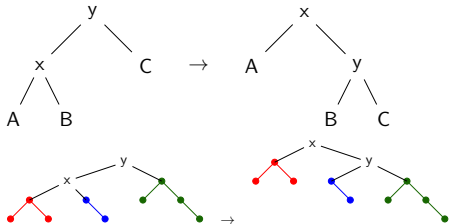
### Rotation droite



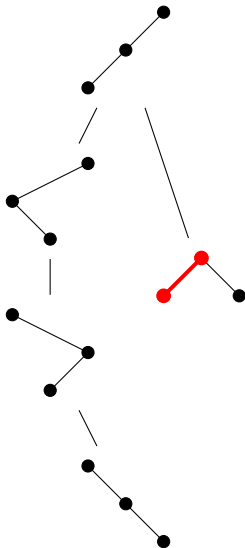
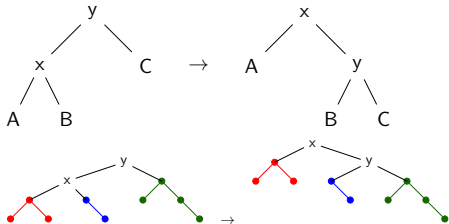
### Rotation droite



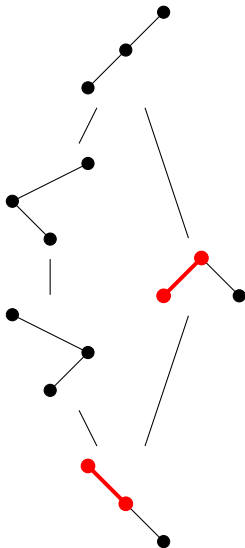
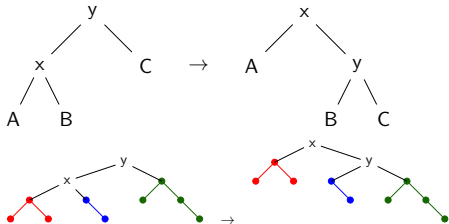
### Rotation droite



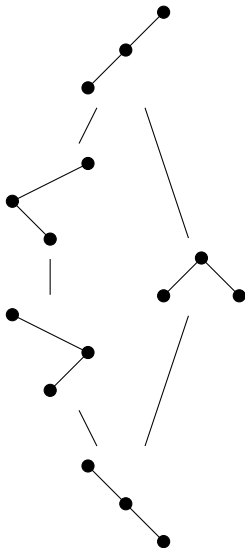
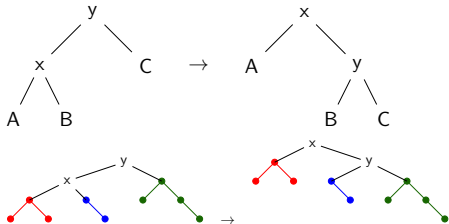
### Rotation droite

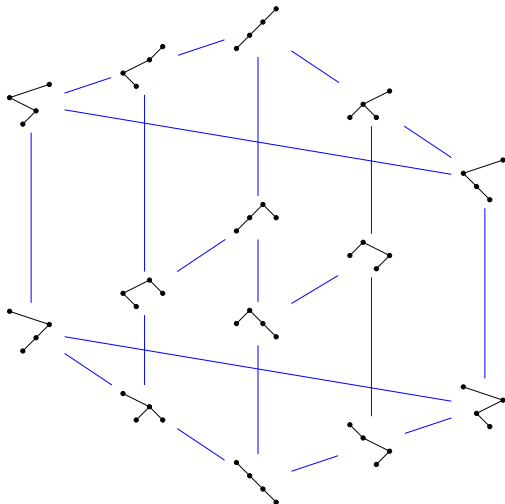


### Rotation droite

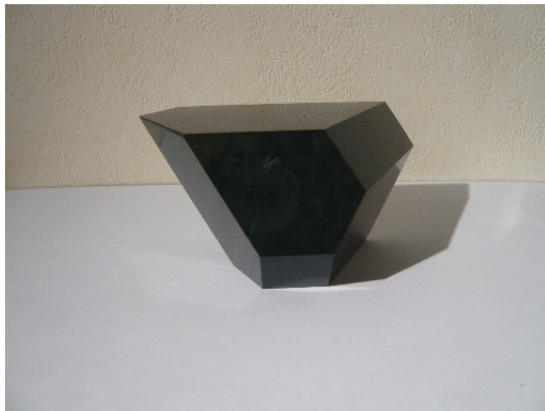


### Rotation droite





## Associaèdre

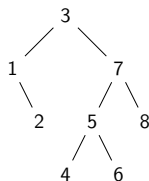
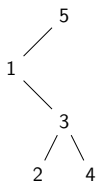
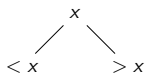


## Associaèdre et permutoèdre



## Lien avec l'ordre faible

### Étiquetage canonique



## Insertion dans un arbre binaire de recherche

4

15324 →

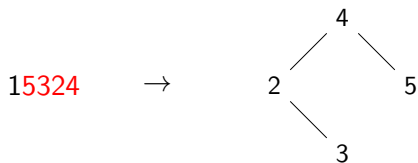
## Insertion dans un arbre binaire de recherche



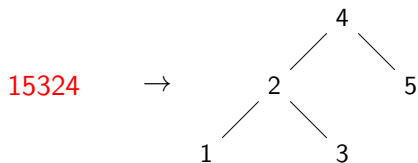
## Insertion dans un arbre binaire de recherche



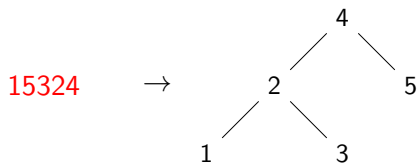
## Insertion dans un arbre binaire de recherche



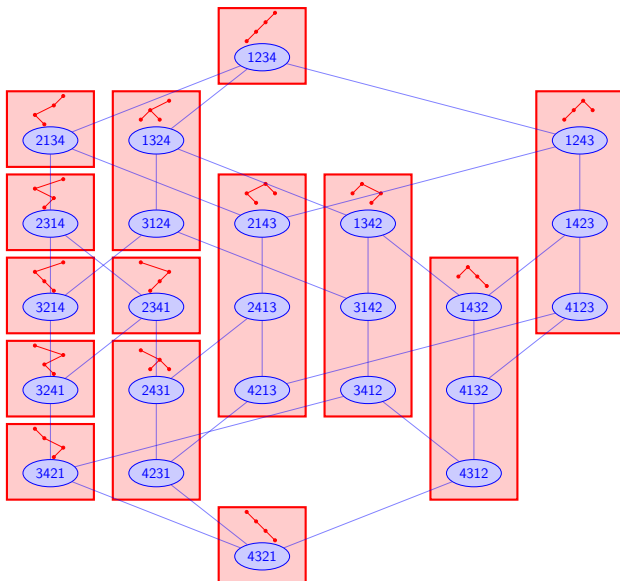
## Insertion dans un arbre binaire de recherche



## Insertion dans un arbre binaire de recherche



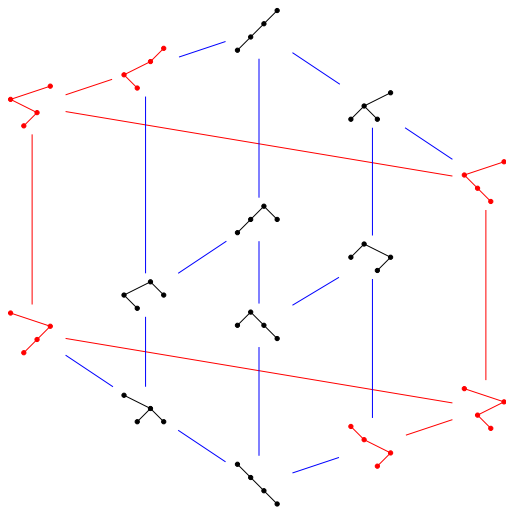
Caractérisation : les permutations qui correspondent à un arbre donné sont ses extensions linéaires  
15324, 31254, 35124, 51324, ...



## Algèbre sur les arbres binaires

$$\mathbf{P}_T = \sum_{\text{ABR}(\sigma)=T} \mathbf{F}_\sigma$$
$$\mathbf{P}_{\begin{array}{c} \diagup \\ \diagdown \end{array}} = \mathbf{F}_{2143} + \mathbf{F}_{2413} + \mathbf{F}_{4213}$$

- ▶ Loday, Ronco, 1998.
- ▶ Hivert, Novelli, Thibon, 2005.



$$P_{\text{tree}} \cdot P_{\text{tree}} = P_{\text{tree}} + P_{\text{tree}} + P_{\text{tree}} + P_{\text{tree}} + P_{\text{tree}} + P_{\text{tree}}$$

## Intervalles du treillis de Tamari

- ▶ Énumération : Chapoton 2007

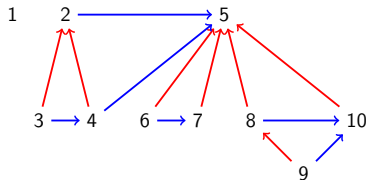
$$\frac{2}{n(n+1)} \binom{4n+1}{n-1}$$

- ▶ Bijection avec les triangulations : Bernardi, Bonichon 2009
- ▶ Bijection avec des flots sur les forêts : Chapoton, Châtel, P., 2013

## Intervalles-posets

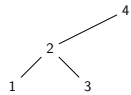
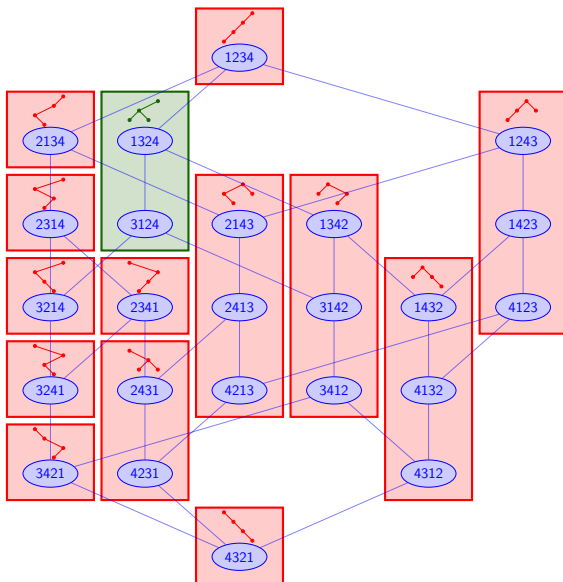
Un intervalle-poset est un poset de taille  $n$  étiqueté par  $1, \dots, n$  tel que :

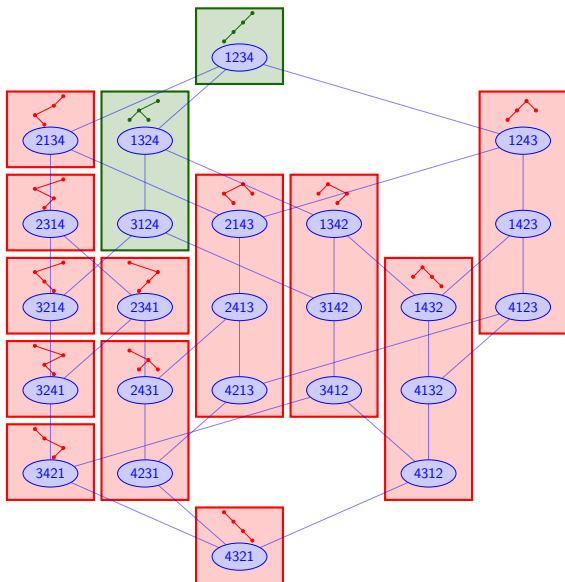
- ▶ si  $a < c$  et  $a$  précède  $c$  alors  $b$  précède  $c$  pour tout  $a < b < c$  ;
- ▶ si  $a < c$  et  $c$  précède  $a$  alors  $b$  précède  $a$  pour tout  $a < b < c$ .



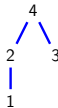
## Theorem (2013 – Châtel, P.)

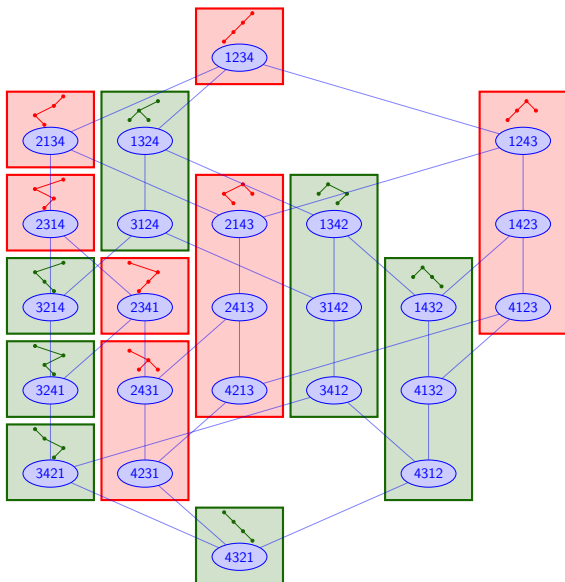
*Les intervalles-posets sont en bijection avec les intervalles du treillis de Tamari.*





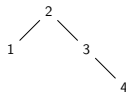
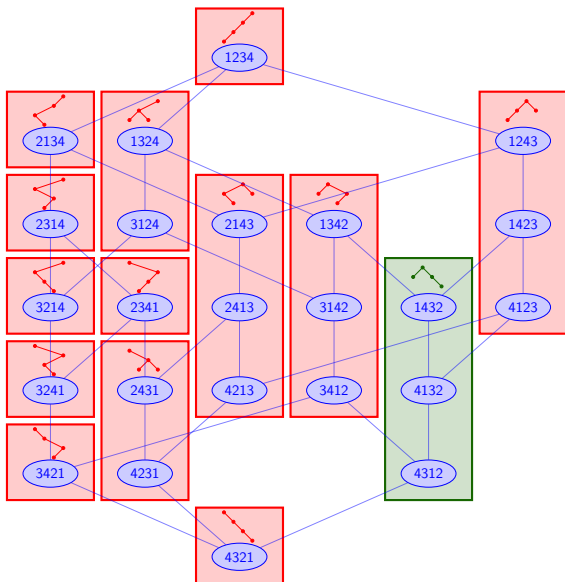
$$F_{\leq}(T)$$

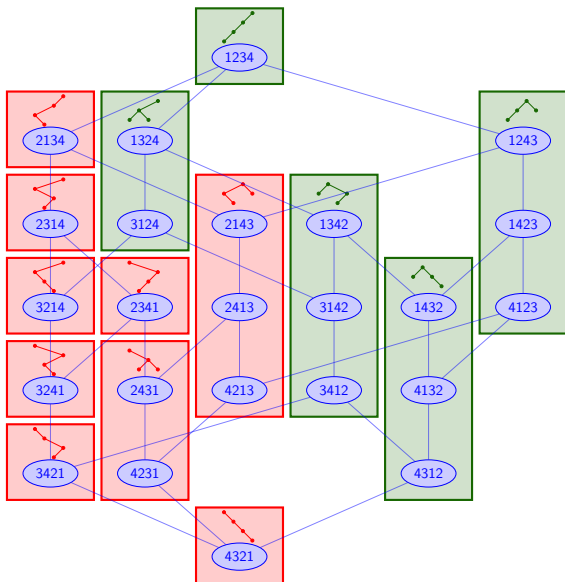




$$F_{\geq}(T)$$

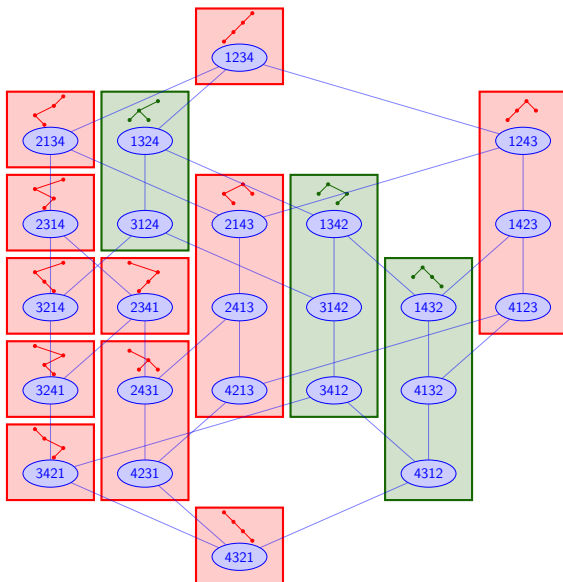






$$F_{\leq}(T')$$





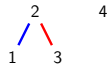
$$F_{\geq}(T)$$



$$F_{\leq}(T')$$



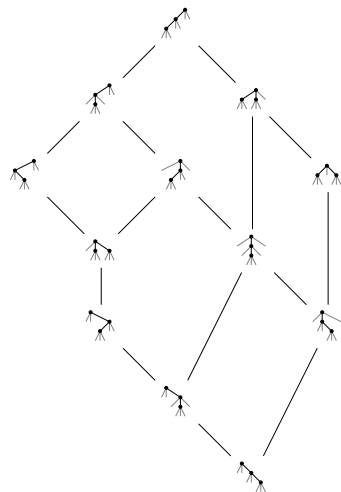
Intervalle-poset  
 $[T, T']$



## Treillis de $m$ -Tamari

- ▶ Bergeron, Préville-Ratelle : posets de  $m$ -Tamari
- ▶ Bousquet-Mélou, Fusy, Préville-Ratelle : nombre d'intervalles

$$\frac{m+1}{n(mn+1)} \binom{(m+1)^2 n + m}{n-1}$$



## Treillis Cambriens

- ▶ introduits par Reading, 2006
- ▶ un treillis sur des arbres binaires avec "signature"
- ▶ Permutations signées, algèbres cambriennes

